УДК 51.22 (479.25)

Р. Н. ТАЯН

ОПЫТ ПРИМЕНЕНИЯ МИКРОСТРУКТУРНОГО АНАЛИЗА В ОЦЕНКЕ ЭРОЗИОННОГО СРЕЗА ИНТРУЗИВОВ

До сего времени вопросы, связанные с оценкой глубины эрозионного среза в интрузивных массивах вообще, и Мегринского плутона, в частности, остаются в центре внимания исследователей.

Достаточно хорошая общегеологическая и петрографическая изученность Мегринского плутона и вмещающих его вулканогенных и вулканогенно-осадочных образований дает определенную возможность крайне приближенной оценки величины эрозионного среза отдельных его интрузивов. Такая оценка прежде всего основана на данных, полученных при исследованиях фоциальных разновидностей интрузивных нород, а также наблюдениях интенсивности развития пологой «пластовой» трещиноватости, приуроченной обычно к апикальным участкам интрузивных массивов. Очевидно, что приведенные критерии находятся в прямой зависимости от величины эрозионного среза интрузивов и в подавляющем большинстве случаев не могут быть использованы для се оценки.

Данные для более определенной оценки глубины эрознонного среза интрузивных массивов получены на основе применения микроструктурного анализа. Анализировалось пространственное положение кристаллов плагиоклаза в шлифах из ориентированных образцов с определением положений в пространстве проекций второго пинакоида по методу, разработанному В. Г. Кочаряном [3].

Ранее, совместно с В. Г. Кочаряном [4], были проведены исследования по выявлению ориентировки второго пинакоида плагиоклазов, обязаниой своим происхождением влиянию направляющих боковых плоскостей при формировании интрузивов в магматическую стадию. Было установлено, что направляющие боковые поверхности четко отражаются на петроструктурных узорах микроструктурных диаграмм плагноклазов в породах различного состава (от габбро до гранитов), зернистости и структуры. На большом фактическом материале было доказано, что при наличии двух и более направляющих плоскостей каждая из них воздействует на ориентировку плагиоклазов, причем наибольшее влияние оказывает ближайшая из них.

В геологическом строении исследованной территории принимают участие трегичные вулканогенно-осадочные образования, а также интрузивные породы верхний эоцен-олигоценового и нижнемно-ценового возраста, третьего и четвертого [2] интрузивных комплексов Мегринского плутона.

Работы по оценке влияния кровли интрузива на ориентировку плагиоклазов проводились на основе отбора и микроструктурного исследования ориентированных образцов из порфировидных гранитоидов четвертого интрузивного комплекса по разрезам с возможно большими превышениями высот. Последнее связано с необходимостью выявления изменения характера ориентировки плагноклазов в этих породах в вертикальном разрезе и на ограничениом по площади участке, с целью исключения, насколько это возможно, влияния боковых ориентирующих плоскостей. Это особенно важно иметь в виду при отборе ориентированных образцов в исследованных полифазных интрузивных массивах.

Рассматриваемый ниже материал получен на двух наиболее интересных, как нам представляется, по своему геологическому положению участках с сохранившимися от эрозии крупными останцами вулканогенных и интрузивных вмещающих пород. Расположены они в водораздельной части Зангезурского хребта, в пределах крупного приподнятого блока с наиболее значительными в районе абсолютными высотами.

Первый из участков (рис. 1) находится в верховьях р. Каджаранц. Сложен интрузивными породами порфировидных гранодиоритов II и III фаз, четвертого интрузивного комплекса Мегринского плутона [2]. Вмещающими эти интрузивы породами на исследованном участке являются гранодиориты предшествующего третьего интрузивного комплекса плутона. Они сохранились на значительных абсолютных высотах вершин Алун и Дараюрт и несут на себе следы контактового воздействия (апофизы, метасоматические вкрапленники калишпата, роговой обманки).

В порфировидных гранодиоритах в экзокоптакте отмеченных останцев хорошо проявлена плоско-параллельная ориентировка темноцветных минералов с пологими углами падения до 10—15°. Такое ориентированное сложение темноцветных минералов сохраняется на первых сотнях метров, ослабевая ниже по разрезу склона глубокого вреза р. Каджаранц.

Ориентированные образцы на рассматриваемом участке были отобраны в среднезернистых порфировидных гранодиоритах II фазы, в обнажениях по разрезу с крутизной склона около 45° (рис. 2). От уровня р. Каджаранц до точки отбора образца 2154 расстояние по разрезу составляет 1500 м. Разница абсолютных отметок около 750 м. От точки же отбора последнего образца до контакта с вмещающими гранодноритами по разрезу еще 200 м. Ориентированные образцы отбирались через каждые 250 м. Учитывая угол наклона линии разреза к горизонту, это расстояние соответствует, примерно, 125 м по вертикали.

Второй из изученных участков находится в верховьях р. Гехи, в районе оз. Гек-гель. Здесь в водораздельной части Зангезурского хребта (в лежачем боку зоны Дебаклинского разлома) закартирован обособленный выход крупнозернистых порфировидных гранодиоритов III

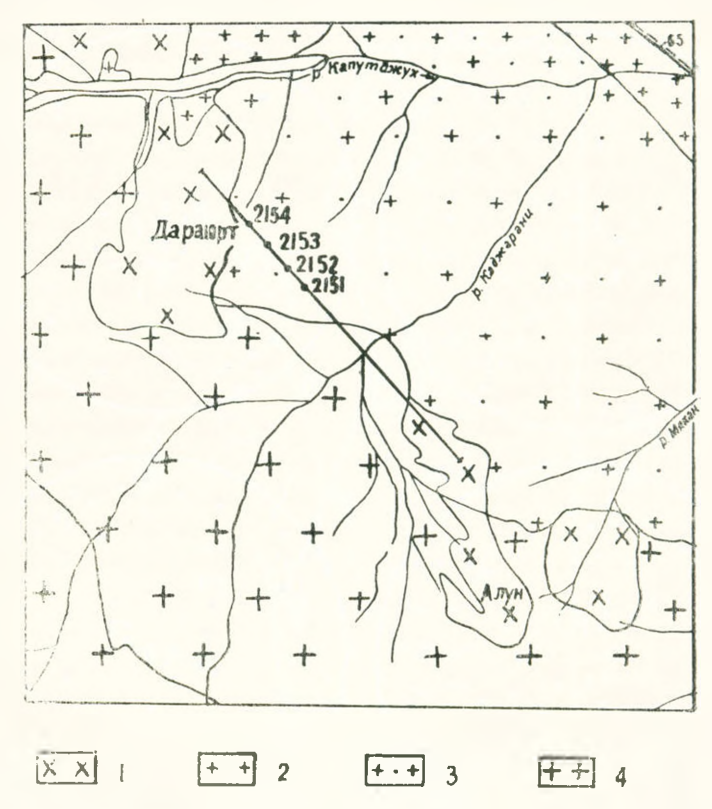


Рис. 1. Геологическая схема верховьев р. Каджаранц. 1. Породы гранодноритового состава III интрузивного комплекса Мегринского плутона. Породы IV интрузивного комплекса: 2. Порфировидные граниты (1 фаза). 3. Порфировидные среднезернистые гранодиориты (II фаза). 4. Порфировидные круппозернистые граноднориты (III фаза). Цифры на схеме—точки отбора ориентированных образцов.

фазы четвертого интрузивного комплекса, площадью выхода около 10 кв. км. Значительная часть выхода представлена породами апикальной фации с характерной гранит-порфировой структурой, выявленной под микроскопом. Вмещающие среднеэоценовые вулканогенные породы в участках отбора ориентированных образцов имеют пологое (до 20°) залегание с общим погружением на юг.

Ориентированный образец 683 (рис. 3) отобран в центральной части выхода пород апикальной фации из обнажения с абсолютной отметкой 3350 м. Ориентированный образец 682 отобран на восточном склоне интрузива, на абсолютной высоте около 3100 м.

Дополнительный фактический материал (рис. 4), отобранный для установления воздействия близгоризонтальных направляющих поверхностей на орнентировку второго пинакоида плагиоклазов, получен нами при анализе ориентированного образца из центральной части пологой залежи аплитовидного гранита, мощностью 10—12 м. Эти породы относятся к образованиям типа «дополнительных интрузий» и широко развиты в пределах порфировидных гранодиоритов III фазы, с которыми связаны генетически.

Известия XXIX, № 6-4, 1976

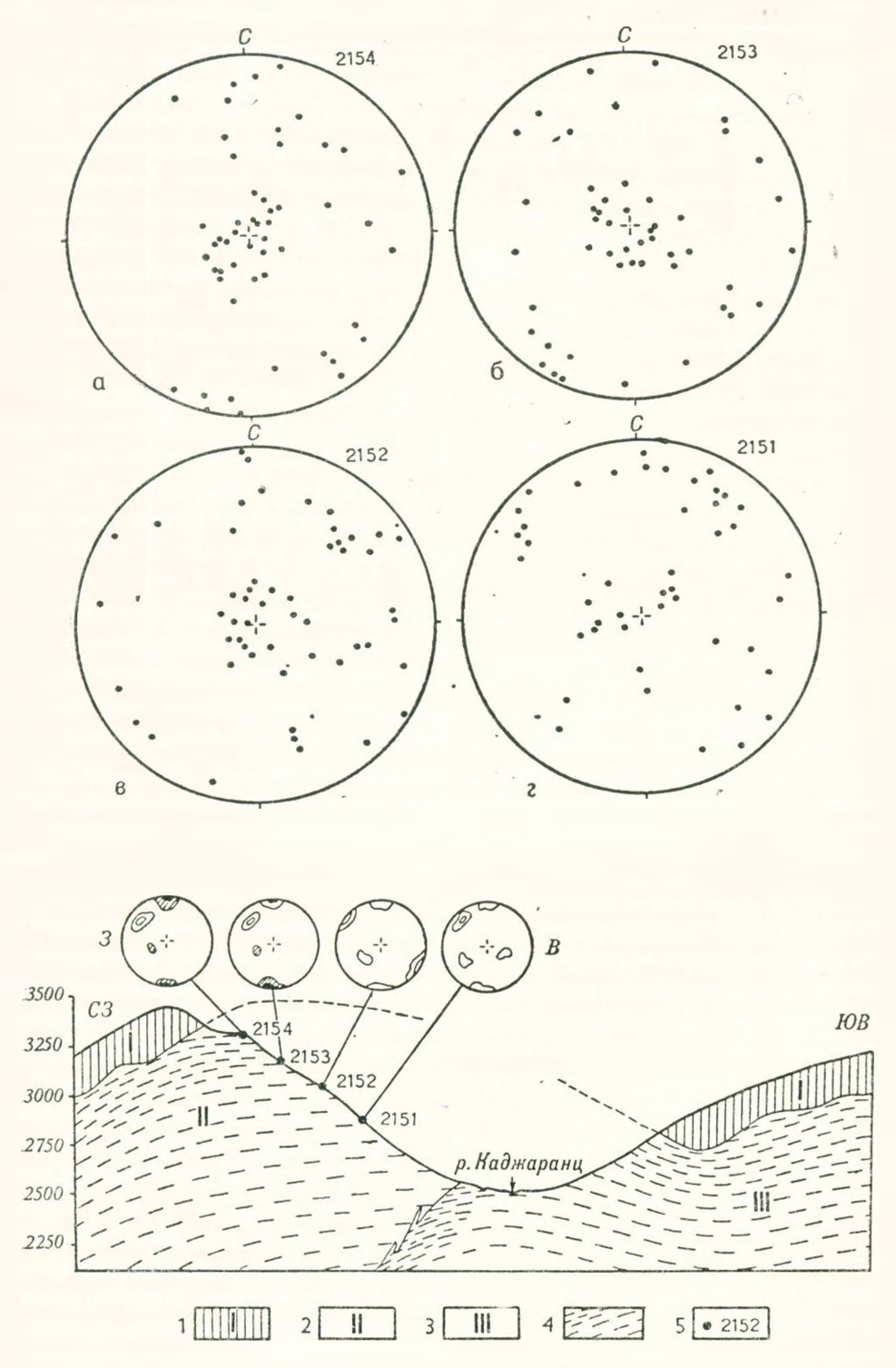


Рис. 2. Разрез к рис. 1. 1. Гранодиориты. 2. Среднезернистые порфировидные гранодиориты. 3. Крупнозернистые порфировидные гранодиориты. 4. Плоско-параллельная ориентировка темпоцветных минералов. 5. Точки отбора ориентированных образнов. В кругах диаграммы (010) плагиоклазов, сведенные на вертикальную плоскость—а, 6, в. г—точечные диаграммы (010) плагиоклазов. 50 измерений (здесь и далее проекция на горизонтальную плоскость).

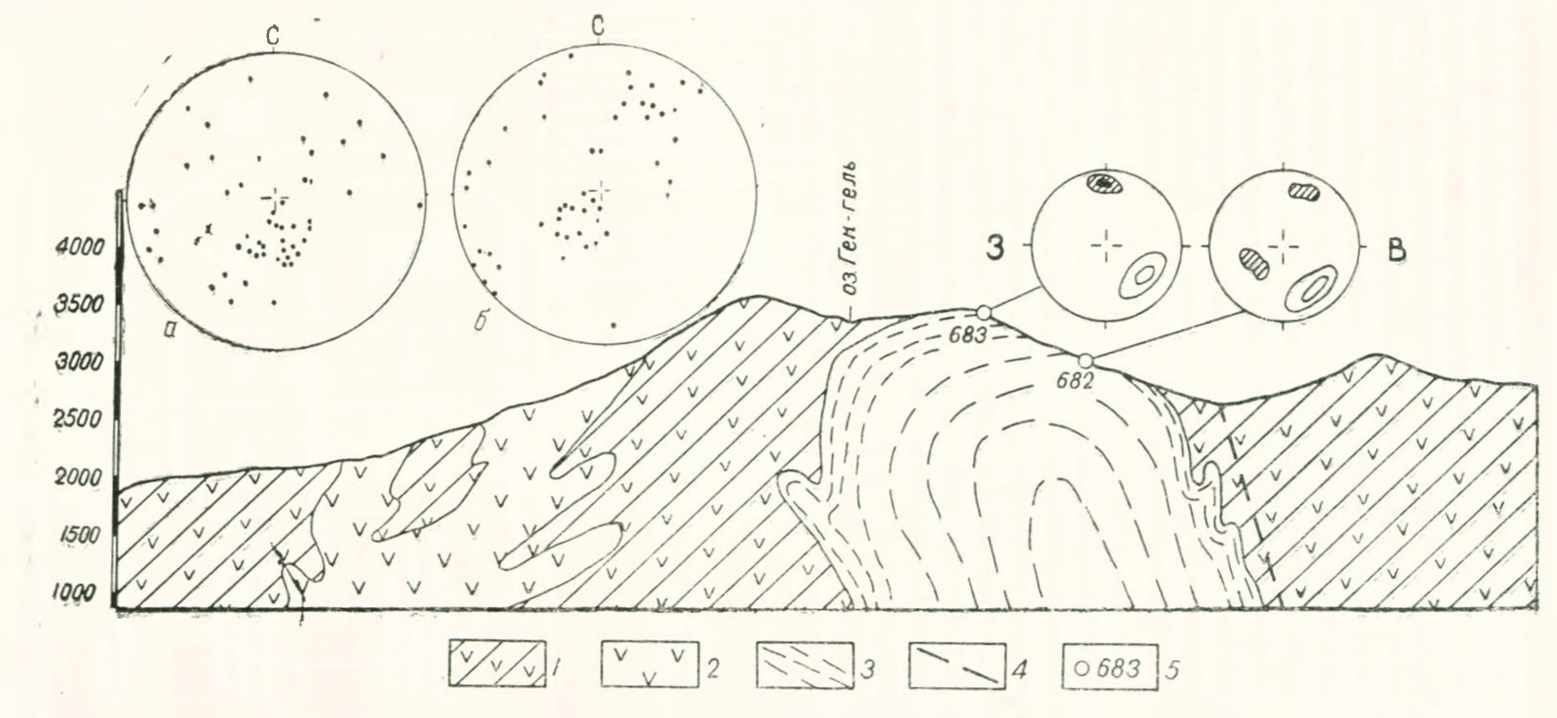


Рис. 3. Близширотный разрез в водораздельной части Зангезурского хребта, верховьев р. Гехи. 1. Вулканогенные породы среднего эоцена. 2. Порфириты. 3 Крупнозергистые порфировидные гранодиориты. 4. Дебаклинский разлом. 5. Точки отбора ориентированных образцов. а, 6—точечные диаграммы <u>1</u> (010) платиоклазов. 50 измерений.

Результаты проведенных измерений наносились на сетку Вульфа в проекции на верхнюю полусферу. Полученные точечные диаграммы приводились к горизонтальной плоскости. Дальнейшая обработка их заключалась в подсчете процента точек- отражающих на диаграммах горизонтальные и близгоризонтальные направляющие плоскости.

Такая обработка данных может быть обоснована тем, что существующие методы вычисления диаграммы [1, 5 и др.] не дают возможности выявить слабоконтрастные вариации ориентировки, наблюдаемые по разрезу в исследованных ориентированных образцах.

Данные исследований

Наиболее полно марактер изменения ориентированного сложения плагиоклазов в зависимости от удаления вмещающей апикальной поверхности можно проследить на диаграммах (рис. 2, а, б, в, г). Диаграмма (рис. 2а) составлена на основе замеров в шлифе из ориентированного образца 2154 и характеризует ориентировку \bot (010) плагноклазов, примерно, в ста метрах от контакта с вмещающими породами (табл. 1).

						Te	аблица 1
№ 11/11	№ ориентированного образца	Названи е породы	Средний состав РІ	Содержание РІ в 0/0	Абсолютная высота точек отбора ориенти- рованных образцов в м	Удаление по вертикали от вмещающей апи- кальной поверхности в и (с погрешностью до 200/о)	0/₀ точек ⊥ (010) пла- гиоклаза, отражающих апикальные вмещаю- ице поверхности
		Участок	верховье	в р. Қа	джаранц		
1 2 3 4	2154 2153 2152 2151	Среднезернистые порфировидные гранодиориты	21An	35	3 :00 3175 3050 2925	100 225 350 475	50 46 35 30
		Учас	ток верхо	вьев р.	Гехи		
5 6	683 682	Круппозернистые порфировидные гранодпориты	25 An	42	3350 3100	100 350	50 3+
			Пологая	залежь			
7	960	Аплитовидный гранит	24 A n	22	Мощность 10—12 м	5	68

Здесь концентрации пормалей (010) плагиоклазов в центральной части днаграммы, отражающих положение близгоризонтальной направляющей илоскости, составляют 50% от общего числа замеров. Точки

же пормалей по второму пинакоиду плагиоклазов, соответствующие ориентирующим плоскостям с большим наклоном к горизонту, располагаются на периферии диаграммы, не обнаруживая каких-либо концентраций.

На диаграммах (рис. 2 б, в, г) в местах отбора ориентированных образцов ниже по разрезу концентрации точек, отражающих близгоризонтальные вмещающие плоскости, равны соответственно 46, 35 и 30% от общего числа замеров.

Концентрации \bot (010) в северо-восточной части двух последних днаграмм отражают направление общего северо-западного развития интрузии, согласное с простиранием крутых контактовых плоскостей. Влияние последних на ориентировку плагиоклазов становится более значительным с удалением от апикальной поверхности интрузива. В рассматриваемом случае такие концентрации \bot (010) плагиоклазовняютностью изолиний до 8%, начинают проявляться уже на глубинах, примерно, 350 м (рис. 2в, табл. 1).

Днаграммы (рис. 3 а, б) составлены на основе замеров плагноклазов в ориентированных образцах, отобранных в гранитоидах верховьев р. Гехн. Согласно табл. 1, они отражают ориентировку (010) плагноклазов в удалении, примерно, 100 и 350 м от близгоризонтальной контактовой поверхности, вмещающей этот интрузив. Нормали (010) на этих диаграммах образуют зоны концентрации точек в 50 и 34%, которые несколько смещены на юг—юго-запад от центра диаграммы, отражая общее погружение кровли интрузива.

Слабые концентрации 1. (010) в северо-восточной и юго-западной частях диаграмм (рис. 3), как и в вышеописанном случае, более четко

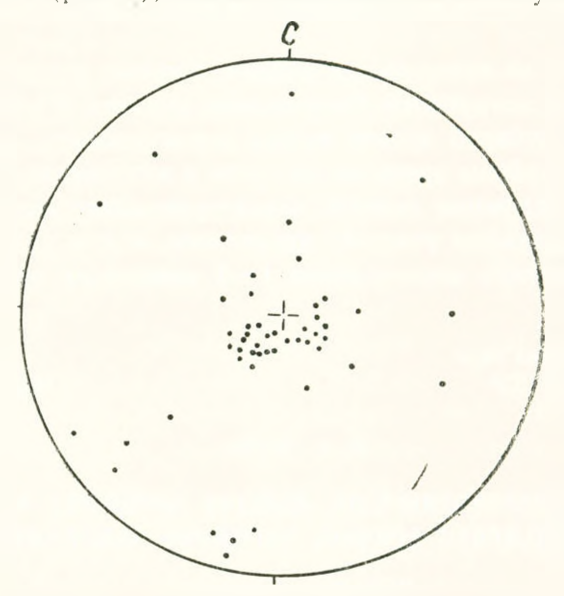


Рис. 4. Точечная диаграмма \perp (010) плагиоклазов в пологой залежи аплитовидного гранита. 50 измерений.

проявляются с глубиной и соответствуют простиранию длинной оси интрузива, развившегося в северо-западном направлении, нараллельно зоне Дебаклинского разлома.

На диаграмме (рис. 4) показано пространственное положение нормалей (010) плагноклазов в центральной части пологой залежи аплитовидного гранита (табл. 1). Здесь⊥(010), отражающие горизонтальные направляющие поверхности, создают наиболее значительные из рассмотренных случаев концентрации, составляющие 68% от общего числа замеров.

Заключение

Оцепка глубины эрозионного среза интрузивных массивов без применения рассмотренных методов исследований представляет значительную сложность и является крайне приближенной. Проведенные исследовання позволили, как нам представляется, с приемлемой для поставленной цели падежностью выявить количественные изменения анизотропии в ориентировке (010) плагиоклазов на глубину до 500 м. Согласно полученным данным, наиболее значительные концентрации нормалей (010) плагиоклазов в исследованных гранитоидах, отражающие близгоризонтальные, вмещающие интрузив поверхности, приходятся на первые две сотни метров (табл. 1). Причем в близлежащей эндоконтактовой зоче (в пределах 100 м) они составляют более 50% от общего числа замеров. Далее, с удалением от кровли интрузива и уменьшением ее влияния, наблюдается достаточно резкое изменение ориситированного сложения \perp (010). На глубинах 350 и 475 м проценты точек, отражающих эту плоскость, равны соответственно 35 и 30 от общего числа замеров.

Основываясь на приведенных данных, а также многочисленных других примерах по интрузивам Мегринского плутона, в участках с более значительной глубиной эрозии можно рекомендовать рассмотренный метод оценки глубины эрозионного среза в интрузивах, как наиболее достоверный. Надежные данные, характеризующие величину эрозионного среза, в отдельных участках интрузивов можно получить на основе микроструктурного исследования 1—3 одиночных ориентированных образцов.

Институт геологических наук АН Армянской ССР

Поступила 25.IV.1975.

Ռ. Ն. ՏԱՑԱՆ

Ամփոփում

Ինտրուգիվների էրողիոն կտրվածքի խորության դնահատումը տրվում է միկրոստրուկտուրային անալիզի հիման վրա։ Վերծանվել է պլագիոկլադների $\pm (010)$ անիդոտրոպիան, որն արտացոլում է ինտրուզիվ մարմինների առաստաղի դիրքը։ Պլադիոկլադների $\pm (010)$ ամենանշանավոր կոնցենտրաոիաները, որոնք արտացոլում են ինտրուղիվների առաստաղի դիրքը, կազձում են չափումների ընդհանուր քվի 50 տոկոսից ավելին։ 350 և 475 մետր
հոդուքյունների վրա գտնվող ապարներում պրոգիոկլադների $\pm (010)$ կոնցենտրացիաները չափումների ընդհանուր քվից համապատասխանաբար կաղժում են 35 և 30 տոկոս։

ЛИТЕРАТУРА

- 1. Вистелиус А. Б. Структурные днаграммы. Пзд-во АН СССР, М.—Л., 1958.
- 2. Карамян К. А., Таян Р. Н., Гуюмджян О. П. Основные черты интрузавного магматизма Зангезурского рудного района Армянской ССР. Известия АН Арм. ССР, Науки о Земле, № 1, 1974.
- 3 Кочарян В. Г. Методика массовых определений ориентировки кристаллографических элементов плагноклазов в пространстве. Известия АН Арм. ССР, Науки о Земле, № 3, 1965.
- Кочарян В. Г., Таян Р. Н. Некоторые закономерности ориентировки второго пинакоида плагноклазов в интрузивах Мегринского плутона. Известия АН Арм. ССР, Науки о Земле, № 1—2, 1967.
- 5. *Прочин А. В.* Статистическая обработка в стратиграфической проекции ориентированных величин. Сов. геология, сб. 37, 1949.